

ArUco EKF SLAM

Dongsheng Yang, ydsf16@buaa.edu.cn, 2018 年 9 月 23 日 星期日

引言

这篇文章实现了《概率机器人》第 10 章中提到的 EKF-SLAM 算法，更确切的说是实现了已知一致性的 EKF-SLAM 算法。

EKF-SLAM 一般是基于路标的系统。本文就使用了一种人工路标——ArUco 码。每个 ArUco 码有一个独立的 ID，通过 PnP 方法可以计算出码和相机之间的相对位姿。OpenCV 扩展库中集成了 ArUco 码库，提供了检测和位姿估计的功能。大家可以参考：https://docs.opencv.org/3.3.0/d9/d6d/tutorial_table_of_content_aruco.html。

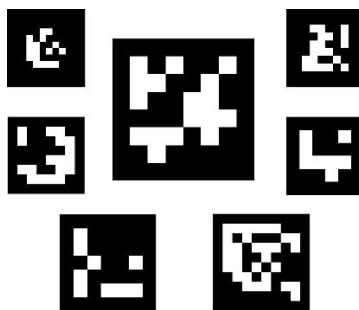


图 1 ArUco 码

首先在房间的地面上贴若干 ArUco 码作为路标，然后遥控一个带有摄像头+编码器的机器人在房间内运动。本文的目标就是通过 EKF 算法同时估计出这些码的位置和机器人的位姿。



图 2 实验环境

要实现 EKF-SLAM, 最关键的就是建立运动模型和观测模型, 将这两个模型直接带进 EKF 算法框架就是 EKF-SLAM。EKF-SLAM 算法使用扩展的状态空间:

$$\mathbf{X} = \begin{bmatrix} x & y & \theta & m_{x,1} & m_{y,1} & m_{x,2} & m_{y,2} & \cdots & m_{x,N} & m_{y,N} \end{bmatrix}^T$$

前 3 项是机器人位姿，后 $2N$ 项是 N 个路标点的位置。

运动模型

里程计模型

我比较喜欢采用《自主移动机器人导论》中的里程计模型作为运动模型。具体的，如果 $t-1$ 时刻机器人的位姿是 $\xi_{t-1} = [x \ y \ \theta]^T$ ，那么 t 时刻的机器人位姿为：

$$\begin{aligned} \begin{bmatrix} x \\ y \\ \theta \end{bmatrix}_t &= \begin{bmatrix} x \\ y \\ \theta \end{bmatrix}_{t-1} + \begin{bmatrix} \Delta s \cos(\theta + \Delta\theta/2) \\ \Delta s \sin(\theta + \Delta\theta/2) \\ \Delta\theta \end{bmatrix}, \\ \begin{cases} \Delta\theta = \frac{\Delta s_r - \Delta s_l}{b} \\ \Delta s = \frac{\Delta s_r + \Delta s_l}{2} \end{cases}, \Delta s_{l/r} = k_{l/r} \cdot \Delta e_{l/r} \\ \Delta s_{l/r} &\sim N\left(\Delta s_{l/r}, \left\|k \Delta s_{l/r}\right\|^2\right). \end{aligned} \quad (1)$$

$k_{l/r}$ 左右轮系数，把编码器增量 $\Delta e_{l/r}$ 转化为左右轮的位移， b 是轮间距。左右轮位移的增量 $\Delta s_{l/r}$ 服从高斯分布，均值就是编码器计算出的位移增量，标准差与增量大小成正比。如果 $t-1$ 时刻机器人位姿的协方差为 $\Sigma_{\xi,t-1}$ ，控制的协方差也就是编码器增量的协方差为 Σ_u ，那么机器人位姿在 t 时刻的协方差就是：

$$\Sigma_{\xi,t} = \mathbf{G}_{\xi} \Sigma_{\xi,t-1} \mathbf{G}_{\xi}^T + \mathbf{G}'_u \Sigma_u \mathbf{G}'_u{}^T \quad (2)$$

\mathbf{G}_{ξ} 是(1)式关于机器人位姿 ξ_{t-1} 的雅克比：

$$\mathbf{G}_{\xi} = \frac{\partial \xi_t}{\partial \xi_{t-1}} = \begin{bmatrix} 1 & 0 & -\Delta s \sin(\theta + \Delta\theta/2) \\ 0 & 1 & \Delta s \cos(\theta + \Delta\theta/2) \\ 0 & 0 & 1 \end{bmatrix} \quad (3)$$

\mathbf{G}_u 是(1)式关于控制（编码器增量） $\mathbf{u} = [\Delta s_r \ \Delta s_l]^T$ 的雅克比：

$$\mathbf{G}'_u = \frac{\partial \xi_t}{\partial \mathbf{u}} = \begin{bmatrix} \frac{1}{2} \cos\left(\theta + \frac{\Delta\theta}{2}\right) - \frac{\Delta s}{2b} \sin\left(\theta + \frac{\Delta\theta}{2}\right) & \frac{1}{2} \cos\left(\theta + \frac{\Delta\theta}{2}\right) + \frac{\Delta s}{2b} \sin\left(\theta + \frac{\Delta\theta}{2}\right) \\ \frac{1}{2} \sin\left(\theta + \frac{\Delta\theta}{2}\right) + \frac{\Delta s}{2b} \cos\left(\theta + \frac{\Delta\theta}{2}\right) & \frac{1}{2} \sin\left(\theta + \frac{\Delta\theta}{2}\right) - \frac{\Delta s}{2b} \cos\left(\theta + \frac{\Delta\theta}{2}\right) \\ \frac{1}{b} & -\frac{1}{b} \end{bmatrix} \quad (4)$$

EKF-SLAM 运动更新

上面说的还是只考虑机器人位姿的情况，但是 SLAM 系统还需要考虑路标点。扩展路标点之后，运动方程为：

$$\underbrace{\begin{bmatrix} x \\ y \\ \theta \\ m_{x,1} \\ m_{y,1} \\ \vdots \\ m_{x,N} \\ m_{y,N} \end{bmatrix}}_{\mathbf{X}_t} = \underbrace{\begin{bmatrix} x \\ y \\ \theta \\ m_{x,1} \\ m_{y,1} \\ \vdots \\ m_{x,N} \\ m_{y,N} \end{bmatrix}}_{\mathbf{X}_{t-1}} + \underbrace{\begin{bmatrix} 1 & 0 & 0 \\ 0 & 1 & 0 \\ 0 & 0 & 1 \\ 0 & 0 & 0 \\ 0 & 0 & 0 \\ \vdots & \vdots & \vdots \\ 0 & 0 & 0 \\ 0 & 0 & 0 \end{bmatrix}}_{\mathbf{F}} \underbrace{\begin{bmatrix} \Delta s \cos(\theta + \Delta\theta / 2) \\ \Delta s \sin(\theta + \Delta\theta / 2) \\ \Delta\theta \end{bmatrix}}_{g(\mathbf{X}_{t-1}, \mathbf{u}_t)} \quad (5)$$

系统状态的均值 $\bar{\mathbf{u}}_t$ 更新利用(5)式，下面看状态的方差 $\bar{\Sigma}_t$ 更新。

$$\bar{\Sigma}_t = \mathbf{G}_t \Sigma_{t-1} \mathbf{G}_t^T + \mathbf{G}_u \Sigma_u \mathbf{G}_u^T \quad (6)$$

\mathbf{G}_t 是 $g(\mathbf{X}_{t-1}, \mathbf{u}_t)$ 关于 \mathbf{X}_{t-1} 的雅克比：

$$\mathbf{G}_t = \begin{bmatrix} \mathbf{G}_\xi & \mathbf{0} \\ \mathbf{0} & \mathbf{I} \end{bmatrix} \quad (7)$$

\mathbf{G}_u 是 $g(\mathbf{X}_{t-1}, \mathbf{u}_t)$ 关于 \mathbf{u}_t 的雅克比：

$$\mathbf{G}_u = \mathbf{F} \mathbf{G}'_u \quad (8)$$

把(6)式展开看一下：

$$\begin{aligned} \bar{\Sigma}_t &= \begin{bmatrix} \mathbf{G}_\xi & \mathbf{0} \\ \mathbf{0} & \mathbf{I} \end{bmatrix} \Sigma_{t-1} \begin{bmatrix} \mathbf{G}_\xi^T & \mathbf{0} \\ \mathbf{0} & \mathbf{I} \end{bmatrix} + \mathbf{F} \mathbf{G}'_u \Sigma_u \mathbf{G}'_u{}^T \mathbf{F}^T \\ &\quad \begin{bmatrix} \mathbf{G}_\xi \Sigma_{xx} \mathbf{G}_\xi^T & \mathbf{G}_\xi \Sigma_{xm} \\ (\mathbf{G}_\xi \Sigma_{xm})^T & \Sigma_{mm} \end{bmatrix} + \mathbf{F} \mathbf{G}'_u \Sigma_u \mathbf{G}'_u{}^T \mathbf{F}^T \end{aligned} \quad (9)$$

可以看出，控制量的更新同时影响了机器人位姿的协方差，以及位姿与地图之间的协方差。

测量模型

首先解决测量值的问题。虽然可以获得 ArUco 码相对于机器人的 6 自由度位姿信息，但是为了与书上的观测统一，本文还是把相机作为 Range-bearing 传感器使用，也就是转换成距离 r 和角度 ϕ 。1 个 ArUco 码作为一个路标点 \mathbf{m} ，坐标为 $[m_x \ m_y]^T$ 。

先说一下如何转化成距离和角度。下图是示意图，码与相机的相对位姿为 ${}^c\mathbf{T}$ ，相机与机器人的相对位姿为 ${}^r\mathbf{T}$ ，那么码相对于机器人的位姿为 ${}^r\mathbf{T} = {}^r\mathbf{T}_c {}^c\mathbf{T}_m$ 。 ${}^r\mathbf{T}$ 的平移项 x 和 y 就是码的原点在机器人坐标系下的坐标。转化成距离信息就是 $r = \sqrt{x^2 + y^2}$ ，角度就是 $\phi = \text{atan2}(y, x)$ 。这样就得到了测量值 $z = [r \ \phi]^T$ 。这里再做一个近似假设，认为观测的标准差与距离和角度成线性关系：

$$\mathbf{Q} = \begin{bmatrix} \|k_r r\|^2 & \\ & \|k_\phi \phi\|^2 \end{bmatrix} \quad (10)$$

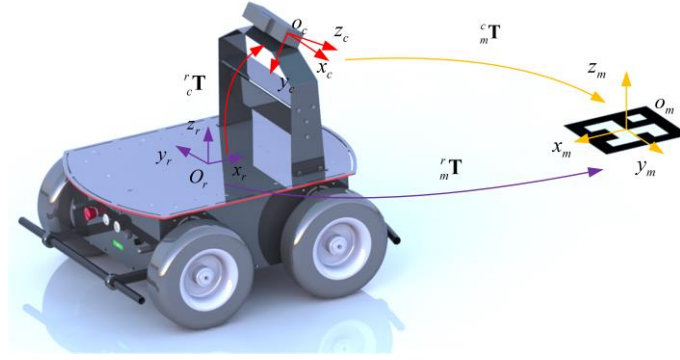


图 3 观测模型示意

第 i 个路标点的观测模型为：

$$\mathbf{z}_t^i = h(\mathbf{X}_t) + \delta_t^i, \delta_t^i \sim \mathcal{N}(\mathbf{0}, \mathbf{Q}_t) \quad (11)$$

展开来看：

$$\begin{cases} r_t^i = \sqrt{(m_{x,i} - x)^2 + (m_{y,i} - y)^2} \\ \phi_t^i = \text{atan2}(m_{y,i} - y, m_{x,i} - x) - \theta \end{cases} \quad (12)$$

根据扩展卡尔曼滤波，要求解观测 \mathbf{z}_t^i 相对于 \mathbf{X}_t 的雅克比 \mathbf{H}_t^i ，实际上一个路标点观测只涉及到机器人的位姿和这个路标点的坐标，组合在一起就是五个量： $\mathbf{v} = [x \ y \ \theta \ m_{x,i} \ m_{y,i}]$ 。于是，观测 \mathbf{z}_t^i 相对于 \mathbf{v} 的雅克比是：

$$\mathbf{H}_v = \frac{\partial h}{\partial \mathbf{v}} = \frac{1}{q} \begin{bmatrix} -\sqrt{q}\delta_x & -\sqrt{q}\delta_y & 0 & \sqrt{q}\delta_x & \sqrt{q}\delta_y \\ \delta_y & -\delta_x & -q & -\delta_y & \delta_x \end{bmatrix}, \begin{cases} \delta_x = m_{x,i} - x \\ \delta_y = m_{y,i} - y \end{cases}, q = \delta_x^2 + \delta_y^2 \quad (13)$$

由于实际的状态空间是 $3+2N$ 维的，要求的观测雅克比应该是 $2 \times (3+2N)$ 维的。对(13)进行转换得到观测 \mathbf{z}_t^i 相对于全状态空间 \mathbf{X}_t 的雅克比：

$$\mathbf{H}_t^i = \mathbf{H}_v \mathbf{F}_t = \frac{1}{q} \begin{bmatrix} -\sqrt{q}\delta_x & -\sqrt{q}\delta_y & 0 & \sqrt{q}\delta_x & \sqrt{q}\delta_y \\ \delta_y & -\delta_x & -q & -\delta_y & \delta_x \end{bmatrix} \begin{bmatrix} 1 & 0 & 0 & 0 \dots 0 & 0 & 0 & 0 \dots 0 \\ 0 & 1 & 0 & 0 \dots 0 & 0 & 0 & 0 \dots 0 \\ 0 & 0 & 1 & 0 \dots 0 & 0 & 0 & 0 \dots 0 \\ 0 & 0 & 0 & 0 \dots 0 & 1 & 0 & 0 \dots 0 \\ 0 & 0 & 0 & 0 \dots 0 & 0 & 1 & 0 \dots 0 \\ & & & 2i-2 & & & 2N-2i \end{bmatrix} \quad (14)$$

下面就可以按照 EKF 的框架进行操作了。

$$\begin{aligned} \mathbf{K}_t^i &= \bar{\Sigma}_t \mathbf{H}_t^{iT} (\mathbf{H}_t^i \bar{\Sigma}_t \mathbf{H}_t^{iT} + \mathbf{Q}_t)^{-1} \\ \boldsymbol{\mu}_t &= \bar{\boldsymbol{\mu}}_t + \mathbf{K}_t^i (\mathbf{z}_t^i - \hat{\mathbf{z}}_t^i) \\ \Sigma_t &= (\mathbf{I} - \mathbf{K}_t^i \mathbf{H}_t^i) \bar{\Sigma}_t \end{aligned} \quad (15)$$

其中，

$$\hat{\mathbf{z}}_t^i = \begin{bmatrix} \sqrt{(\bar{m}_{x,i} - \bar{x})^2 + (\bar{m}_{y,i} - \bar{y})^2} \\ \text{atan2}(\bar{m}_{y,i} - \bar{y}, \bar{m}_{x,i} - \bar{x}) - \bar{\theta} \end{bmatrix} \quad (16)$$

就是由路标点和机器人位姿的均值获取。对每个观测到的路标点进行上述操作就完成了观测更新。

地图构建

上文所说的操作都是假设路标点的数量是已知的，这个值也可以认为是不知道的，可以边运行边加入路标点：当看到一个新的地图点时就扩展状态空间和协方差。当观测到一个新的路标点，其观测为 $z = [r \ \phi]^T$ ，根据机器人的位姿可以计算地图点的坐标为：

$$\begin{bmatrix} m_x \\ m_y \end{bmatrix} = \begin{bmatrix} \cos(\theta) & -\sin(\theta) \\ \sin(\theta) & \cos(\theta) \end{bmatrix} \begin{bmatrix} r \cos(\phi) \\ r \sin(\phi) \end{bmatrix} + \begin{bmatrix} x \\ y \end{bmatrix} = r \begin{bmatrix} \cos(\theta + \phi) \\ \sin(\theta + \phi) \end{bmatrix} + \begin{bmatrix} x \\ y \end{bmatrix} \quad (17)$$

地图点的协方差为：

$$\Sigma_m = G_p \Sigma_\xi G_p^T + G_z Q G_z^T \quad (18)$$

G_p 是(17)式关于机器人位姿的雅克比：

$$G_p = \begin{bmatrix} 1 & 1 & -r \sin(\theta + \phi) \\ 1 & 1 & r \cos(\theta + \phi) \end{bmatrix} \quad (19)$$

G_z 是(17)式关于观测 z 的雅克比：

$$G_z = \begin{bmatrix} \cos(\theta + \phi) & -r \sin(\theta + \phi) \\ \sin(\theta + \phi) & r \cos(\theta + \phi) \end{bmatrix} \quad (20)$$

通过以上各式，算出新路标的均值和协方差，加入到均值向量和协方差矩阵中即可。至此，EKF 算法中所有的模型都已建立完毕。下面给出具体的实施代码。

算法实现

全部工程代码：

https://github.com/ydsf16/aruco_ekf_slam

我用 Falconbot 机器人，采集了两组实验数据，大家可以在这里下载：

<https://pan.baidu.com/s/1EX9CYmdEUR2BJh7v5dTNfA>

参考文献：

《概率机器人》

《自主移动机器人导论》

Freiburg SLAM Course: <http://ais.informatik.uni-freiburg.de/teaching/ws13/mapping/>